

©2004. Б.И. Коносевич

## УСТОЙЧИВОСТЬ СТАЦИОНАРНЫХ ДВИЖЕНИЙ АСИНХРОННОГО ГИРОСКОПА В КАРДАНОВОМ ПОДВЕСЕ В СПЕЦИАЛЬНЫХ СЛУЧАЯХ

Рассматривается гироскоп в кардановом подвесе, установленный на неподвижном основании в поле силы тяжести и снабженный электродвигателем асинхронного типа. Предполагается, что наружная ось подвеса вертикальна, а силы трения и управляющие силы относительно осей подвеса не действуют. Уравнения движения этой системы допускают семейство решений, описывающих регулярные прецесции или равномерные вращения ротора. Множество таких стационарных движений изображается на плоскости вертикальными прямыми и двумя кривыми. В статье [1] на этих прямых и кривых выделены открытыe интервалы, соответствующие устойчивым стационарным движениям, а именно, таким, устойчивость которых устанавливается путем анализа линеаризованных уравнений движения. В граничных точках этих интервалов характеристическое уравнение приведенной системы имеет корни с нулевыми действительными частями. В данной статье с помощью полученного в [2] необходимого и достаточного критерия изучена устойчивость стационарных движений, соответствующих таким граничным точкам: для каждой из граничных точек указаны условия на параметры, при которых имеет место устойчивость и неустойчивость.

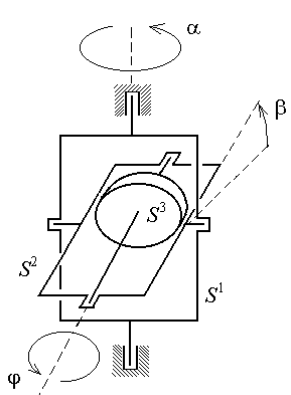


Рис. 1. Гироскоп в кардановом подвесе.

В статье [3] введена обобщенная модель гироскопа в кардановом подвесе, берущая свое начало от работы [4]. В этом случае тела  $S^1$ ,  $S^2$  имеют произвольную форму, внутренняя ось подвеса составляет произвольные углы с наружной осью подвеса и осью ротора, и все эти три оси не обязательно пересекаются в одной точке. Положение системы в каждый момент времени  $t$  определяют углы  $\alpha$ ,  $\beta$ ,  $\varphi$ , где  $\alpha$  – угол поворота  $S^1$  относительно основания,  $\beta$  – угол поворота  $S^2$  относительно  $S^1$ ,  $\varphi$  – угол поворота ротора  $S^3$  относительно  $S^2$ . Система находится в поле силы тяжести.

В [2] для обобщенной модели предполагается, что внутренняя ось подвеса неколлинеарна наружной оси подвеса и оси ротора, а ротор  $S^3$  является динамически симметричным относительно оси своего вращения в  $S^2$ . В этом случае обобщенная модель обладает основными свойствами обычного гироскопа в кардановом подвесе. Чтобы обеспечить существование семейства стационарных движений для такой модели, предполагается, что наружная ось подвеса вертикальна (можно также предполагать, что вся

**1. Исходные соотношения.** Гироскоп в кардановом подвесе представляет собой механическую систему трех твердых тел – наружной рамки  $S^1$ , внутренней рамки  $S^2$  и динамически симметричного ротора  $S^3$ , – последовательно связанных между собой и с основанием цилиндрическими шарнирами. Для обычно рассматриваемой конструкции гироскопа в кардановом подвесе тела  $S^1$ ,  $S^2$  обладают определенной симметрией, так что оси подвеса являются для них главными осями инерции; при этом внутренняя ось подвеса ортогональна наружной оси подвеса и оси ротора, и все эти три оси пересекаются в одной точке – центре подвеса (рис. 1).

В статье [3] введена обобщенная модель гироскопа в кардановом подвесе, берущая свое начало от работы

система статически уравновешена относительно осей подвеса). Тогда величины  $G, N, Q$  в выражении кинетической энергии

$$T = \frac{1}{2}(G\dot{\alpha}^2 + H\dot{\beta}^2 + C\dot{\varphi}^2 + 2N\dot{\alpha}\dot{\beta} + 2Q\dot{\alpha}\dot{\varphi} + 2R\dot{\beta}\dot{\varphi}) \quad (1)$$

и потенциальная энергия  $U$  являются функциями угла  $\beta$  следующего вида

$$\begin{aligned} G(\beta) &= g_0 + g_1 \sin \beta + g_2 \cos \beta + g_3 \sin 2\beta + g_4 \cos 2\beta, & N(\beta) &= n_0 + n_1 \sin \beta + \\ &+ n_2 \cos \beta, & Q(\beta) &= q_0 + q_1 \sin \beta, & U(\beta) &= u_0 + u_1 \sin \beta + u_2 \cos \beta, \end{aligned} \quad (2)$$

причем  $q_1 \neq 0$ . Здесь постоянная  $u_0$  является произвольной, а в случае статически уравновешенной системы  $U(\beta) \equiv u_0$ . Остальные коэффициенты формул (2), а также величины  $H, R$  в (1) выражаются через постоянные механические параметры по формулам, которые следуют из формул (6)-(15) статьи [3]. Через  $C$  обозначен осевой момент инерции ротора.

На практике тело  $S^2$  является статором, а  $S^3$  – ротором электродвигателя. В случае электродвигателя асинхронного типа алгебраическая сумма  $L$  вращающего момента двигателя и момента сил трения относительно оси ротора зависит только от  $\dot{\varphi}$ , причем  $(\dot{\varphi} - \omega)L(\dot{\varphi}) < 0$  при  $\dot{\varphi} \neq \omega$  и  $L(\dot{\varphi}) = 0$  при  $\dot{\varphi} = \omega$ . В линейном приближении по  $\dot{\varphi} - \omega$  имеем  $L = -\lambda(\dot{\varphi} - \omega)$ , где  $\lambda > 0, \omega \neq 0$  – постоянные. Момент  $L$  является обобщенной силой для угла  $\varphi$ . Так как моменты сил трения и управляющих сил относительно осей подвеса предполагаются отсутствующими, то обобщенные силы для углов  $\alpha, \beta$  равны 0 и  $-dU/d\beta$ .

Записав теперь лагранжевы уравнения движения рассматриваемой системы, устанавливаем, что эти уравнения допускают решение вида

$$\dot{\alpha} = \Omega, \quad \beta = \beta_0, \quad \dot{\varphi} = \omega, \quad (3)$$

если постоянные  $\Omega, \beta_0$  связаны соотношением

$$-\Omega\left[\frac{\Omega}{2}G'(\beta_0) + \omega Q'(\beta_0)\right] + U'(\beta_0) = 0. \quad (4)$$

Здесь штрихом обозначено дифференцирование по  $\beta$ .

Циклической координате  $\alpha$  соответствует интеграл лагранжевых уравнений:

$$G(\beta)\dot{\alpha} + N(\beta)\dot{\beta} + Q(\beta)\dot{\varphi} = p \quad (p = \text{const}). \quad (5)$$

Рассматривая формулу (5) как определение величины  $p$ , примем  $p$  в качестве новой переменной вместо  $\dot{\alpha}$ . Полагая при этом  $\dot{\gamma} = \dot{\varphi} - \omega$ , получим вместо исходных лагранжевых уравнений следующую преобразованную систему уравнений движения

$$\begin{aligned} \frac{d}{dt} \frac{(p - \omega Q)N + \dot{\beta}(GH - N^2) + \dot{\gamma}(GR - QN)}{G} + \frac{\partial}{\partial \beta} \left[ \frac{(p - \omega Q - \dot{\beta}N - \dot{\gamma}Q)^2}{2G} + U \right] &= 0, \\ \frac{d}{dt} \frac{(p - \omega Q)Q + \dot{\beta}(GR - QN) + \dot{\gamma}(GC - Q^2)}{G} &= L, \quad \frac{dp}{dt} = 0. \end{aligned} \quad (6)$$

Аргумент  $\beta$  у функций  $G, N, Q, U$  здесь для краткости не написан. Так как  $G(\beta) > 0$  в силу критерия Сильвестра для определенно положительной квадратичной формы (1),

то устойчивость любого решения исходной лагранжевой системы относительно  $\dot{\alpha}, \dot{\beta}, \dot{\phi}$ ,  $\beta$  эквивалентна устойчивости соответствующего решения системы (6) относительно  $p, \dot{\beta}, \dot{\gamma}, \beta$ . Система двух первых уравнений (6), где величина  $p$  фиксирована, называется приведенной системой.

Решению (3) лагранжевых уравнений соответствует решение

$$p = p_0, \quad \beta = \beta_0, \quad \dot{\gamma} = 0 \quad (7)$$

преобразованной системы (6). Это решение существует, если выполнено условие

$$-\frac{p_0 - \omega Q(\beta_0)}{G(\beta_0)} \left[ \frac{G'(\beta_0)}{2G(\beta_0)} (p_0 - \omega Q(\beta_0)) + \omega Q'_0(\beta_0) \right] + U'(\beta_0) = 0, \quad (8)$$

эквивалентное (4). Постоянные  $\Omega, p_0$  в решениях (3), (7) связаны вытекающим из (5) соотношением

$$p_0 - \omega Q(\beta_0) = \Omega G(\beta_0). \quad (9)$$

**2. Критерий устойчивости.** Введем следующую функцию (потенциальную энергию приведенной системы)

$$f(p, \beta) = \frac{[p - \omega Q(\beta)]^2}{2G(\beta)} + U(\beta). \quad (10)$$

Тогда, как легко проверить, условие (8) существования решения (7) выражается равенством  $f'(p_0, \beta_0) = 0$ . Следовательно, при данном значении  $p_0$  для функции  $f(p_0, \beta)$  переменной  $\beta$  имеются только четыре возможности: эта функция в точке  $\beta = \beta_0$  имеет А) изолированный минимум, В) изолированный максимум, С) перегиб, D)  $f(p_0, \beta) \equiv \text{const}$ .

В статье [2] показано, что в случае А решение (7) устойчиво, а в случаях В, С оно неустойчиво. В случае D существует значение  $p_*$  постоянной  $p$  такое, что  $f'(p_*, \beta) = 0$  при всех  $\beta$ . Тогда при  $p_0 = p_*$  решение вида (7) существует при любом  $\beta_0$ . Там же установлено, что случай D возможен только для систем специальной конструкции, а именно, удовлетворяющих одной из двух групп соотношений:

$$\begin{aligned} D_1) \quad & g_2 = g_3 = 0, \quad u_1 = u_2 = 0, \quad g_1^2 + 8g_4(g_0 + g_4) = 0 \quad (g_1, g_4 \neq 0); \\ D_2) \quad & g_2 = g_3 = g_4 = 0, \quad u_2 = 0, \quad 2u_1g_1 + \omega^2 q_1^2 = 0 \quad (g_1, u_1 \neq 0). \end{aligned}$$

При этом в подслучае  $D_1$  при  $p_0 = p_*$  и любом  $\beta_0$  решение (7) неустойчиво, а в подслучае  $D_2$  неустойчивость стационарного решения (7) при  $p_0 = p_*$  удалось доказать для всех значений  $\beta_0$ , отличных от точки минимума  $U(\beta)$ .

Таким образом, условие А наличия изолированного минимума  $f(p_0, \beta)$  при  $\beta = \beta_0$  является необходимым и достаточным условием устойчивости любого решения вида (7) для любого гироскопа в кардановом подвесе, конструкция которого не удовлетворяет соотношениям  $D_2$ .

Следуя [2], запишем условие устойчивости А в форме, удобной для его проверки. Так как  $f(p_0, \beta)$  – аналитическая функция  $\beta$ , то изолированный минимум в точке  $\beta = \beta_0$  она может иметь только в случае, когда среди ее производных по  $\beta$  в точке  $\beta = \beta_0$  имеются отличные от нуля, причем первая из отличных от нуля производных имеет четный порядок  $n$  и положительна:

$$f'(p_0, \beta_0) = 0, \quad f''(p_0, \beta_0) = 0, \dots, f^{(n-1)}(p_0, \beta_0) = 0, \quad f^{(n)}(p_0, \beta_0) > 0. \quad (11)$$

В формулу (10) для  $f(p, \beta)$  входит  $G(\beta)$  в знаменателе, что усложняет вычисление производных высоких порядков от  $f(p_0, \beta)$ . Поэтому введем вместо  $f(p_0, \beta)$  функцию

$$Y(\beta) = 4G(\beta)F(\beta) \quad (F(\beta) = f(p_0, \beta) - f(p_0, \beta_0)). \quad (12)$$

Соотношения (11) эквивалентны следующим

$$F'(\beta_0) = 0, F''(\beta_0) = 0, \dots, F^{(n-1)}(\beta_0) = 0, \quad F^{(n)}(\beta_0) > 0. \quad (13)$$

Учитывая это, с помощью известной формулы для производной любого порядка от произведения двух функций нетрудно показать, что соотношения (13) эквивалентны аналогичным соотношениям для  $Y(\beta)$ :

$$Y'(\beta_0) = 0, Y''(\beta_0) = 0, \dots, Y^{(n-1)}(\beta_0) = 0, \quad Y^{(n)}(\beta_0) > 0. \quad (14)$$

Здесь  $n \leq 6$ . Действительно, подставив в (12) выражение (10) для  $f(p, \beta)$ , будем иметь

$$Y(\beta) = 2[p_0 - \omega Q(\beta)]^2 + 4G(\beta)[U(\beta) - f(p_0, \beta_0)]. \quad (15)$$

Заменив здесь  $G, Q, U$  в соответствии с (2), получаем для  $Y(\beta)$  выражение вида

$$Y(\beta) = Y_0 + \sum_{k=1}^3 Y_k^{(1)} \cos k\beta + Y_k^{(2)} \sin k\beta.$$

Если  $n > 6$  в (14), то  $Y_0 = 0, Y_k^{(1)} = 0, Y_k^{(2)} = 0$  ( $k = 1, 2, 3$ ), откуда следует, что  $Y(\beta) \equiv 0$ . Таким образом, при  $n > 6$  соотношения (14) выполняться не могут.

Итак, для асинхронного гироскопа в кардановом подвесе, конструкция которого не удовлетворяет соотношениям  $D_2$ , необходимый и достаточный критерий устойчивости стационарного решения (7) выражается соотношениями (14), где  $n$  равно 2, 4 или 6. При этом первое из соотношений (14) является условием существования данного решения.

**3. Случай гироскопа обычной конструкции.** Рассмотрим обычную модель гироскопа в кардановом подвесе (рис. 1) и введем следующие обозначения. Пусть  $C, A$  – осевой и экваториальный моменты инерции ротора относительно центра подвеса,  $A_1, B_1, C_1$  – моменты инерции внутренней рамки относительно внутренней оси подвеса, нормали к плоскости внутренней рамки в ее центре и относительно оси ротора,  $C_2$  – момент инерции наружной рамки относительно наружной оси подвеса. Пусть, далее,  $m$  – масса ротора,  $g$  – ускорение свободного падения,  $s \geq 0$  – смещение центра масс ротора от центра подвеса вдоль оси ротора. Угол  $\beta$  отсчитывается таким образом, что  $\beta = 0$  в положении, когда ось ротора ортогональна наружной оси подвеса.

Полагая для краткости  $I_0 = C_2 + B_1 + C$ ,  $I = C_1 + A - B_1 - C$ , имеем следующие выражения для величин, входящих в формулу для кинетической энергии (1)

$$\begin{aligned} G(\beta) &= I_0 + I \cos^2 \beta, & H &= A_1 + A, & N(\beta) &= 0, \\ Q(\beta) &= C \sin \beta, & R &= 0, & U(\beta) &= mgs \sin \beta. \end{aligned} \quad (16)$$

Эти выражения можно получить из формул (6)-(15) статьи [3] или же воспользоваться готовыми формулами (см., например, [5, с. 83]). В дальнейшем будем рассматривать нетривиальный случай, когда  $I \neq 0$ .

Найдем выражения производных  $Y^{(k)}(\beta_0)$ ,  $k = \overline{1, 6}$ , входящих в соотношения (14). Они принимают достаточно простую форму, если с помощью формулы (9) вместо постоянной  $p_0$  ввести угловую скорость прецесии  $\Omega = [p_0 - \omega Q(\beta_0)]/G(\beta_0)$  и воспользоваться безразмерными параметрами

$$y = 2\Omega I/\omega C, \quad \varepsilon = 4mgsI/\omega^2 C^2, \quad \lambda = I_0/I. \quad (17)$$

Величина  $y$  характеризует угловую скорость прецесии  $\Omega$ , параметры  $\varepsilon$  и  $\lambda$  характеризуют смещение центра масс ротора  $s$  и распределение масс в системе. Из (17) следует, что при  $s \neq 0$  знак  $\varepsilon$  равен знаку  $I$ . А так как  $I_0 > 0$ , то при  $\varepsilon > 0$  будет  $\lambda > 0$ . Представив  $\lambda$  в виде  $\lambda = -1 + (C_2 + C_1 + A)/I$ , заключаем, что при  $\varepsilon < 0$  будет  $\lambda < -1$ . В случае  $\varepsilon = 0$ , то есть при  $s = 0$ , величина  $I$  может иметь любой знак, и поэтому для  $\lambda$  допустимы как значения  $\lambda > 0$ , так и значения  $\lambda < -1$ . Итак, множество  $P$  допустимых значений параметров  $\varepsilon$ ,  $\lambda$  определено неравенствами

$$\lambda > 0 \quad (\varepsilon \geq 0), \quad \lambda < -1 \quad (\varepsilon \leq 0). \quad (18)$$

С учетом обозначений (17) из формул (10),(15),(16) находим для  $Y(\beta)$  выражение

$$Y(\beta) = 2F_1^2(\beta) + F_2(\beta)F_3(\beta), \quad (19)$$

где

$$\begin{aligned} F_1(\beta) &= \sin \beta - \sin \beta_0 - \frac{y}{2}(\lambda + \cos^2 \beta_0), \\ F_2(\beta) &= \lambda + \cos^2 \beta, \quad F_3(\beta) = \varepsilon(\sin \beta - \sin \beta_0) - \frac{y^2}{2}(\lambda + \cos^2 \beta_0). \end{aligned} \quad (20)$$

Согласно известной формуле, производная порядка  $k$  от функции (19) равна

$$Y^{(k)}(\beta) = 2 \sum_{m=0}^k C_k^m F_1^{(m)}(\beta) F_1^{(k-m)}(\beta) + \sum_{m=0}^k C_k^m F_2^{(m)}(\beta) F_3^{(k-m)}(\beta). \quad (21)$$

Здесь  $C_k^m$  – биномиальные коэффициенты:  $C_k^m = k(k-1)\dots(k-m+1)/m!$  ( $m > 0$ ),  $C_k^0 = 1$ . Чтобы определить  $Y^{(k)}(\beta_0)$ ,  $k = \overline{1, 6}$ , найдем для функций (20) производные  $F_1^{(m)}$ ,  $F_2^{(m)}$ ,  $F_3^{(m)}(\beta)$ ,  $m = \overline{1, 6}$ , и воспользуемся формулой (21) при  $\beta = \beta_0$ . Получим

$$Y'(\beta_0, y, \varepsilon, \lambda) = \cos \beta_0(\lambda + \cos^2 \beta_0)[y^2 \sin \beta_0 - 2y + \varepsilon], \quad (22)$$

$$\begin{aligned} Y''(\beta_0, y, \varepsilon, \lambda) &= y^2(\cos^2 \beta_0 - \sin^2 \beta_0)(\lambda + \cos^2 \beta_0) + 2y \sin \beta_0(\lambda + \cos^2 \beta_0) + \\ &\quad + 4 \cos^2 \beta_0 - \varepsilon \sin \beta_0(\lambda + 5 \cos^2 \beta_0), \end{aligned} \quad (23)$$

$$\begin{aligned} Y'''(\beta_0, y, \varepsilon, \lambda) &= \cos \beta_0[-4y^2 \sin \beta_0(\lambda + \cos^2 \beta_0) + 2y(\lambda + \cos^2 \beta_0) - \\ &\quad - 12 \sin \beta_0 + \varepsilon(12 \sin^2 \beta_0 - 7 \cos^2 \beta_0 - \lambda)], \end{aligned} \quad (24)$$

$$\begin{aligned} Y^{(4)}(\beta_0, y, \varepsilon, \lambda) &= 4y^2(\sin^2 \beta_0 - \cos^2 \beta_0)(\lambda + \cos^2 \beta_0) - 2y \sin \beta_0(\lambda + \cos^2 \beta_0) - \\ &\quad - 16 \cos^2 \beta_0 + 12 \sin^2 \beta_0 + \varepsilon \sin \beta_0(\lambda + 53 \cos^2 \beta_0 - 12 \sin^2 \beta_0), \end{aligned} \quad (25)$$

$$\begin{aligned} Y^{(5)}(\beta_0, y, \varepsilon, \lambda) &= \cos \beta_0[16y^2 \sin \beta_0(\lambda + \cos^2 \beta_0) - 2y(\lambda + \cos^2 \beta_0) + \\ &\quad + 30 \sin \beta_0 + \varepsilon(61 \cos^2 \beta_0 - 150 \sin^2 \beta_0 + \lambda)], \end{aligned} \quad (26)$$

$$\begin{aligned} Y^{(6)}(\beta_0, y, \varepsilon, \lambda) = & 16y^2(\cos^2 \beta_0 - \sin^2 \beta_0)(\lambda + \cos^2 \beta_0) + 2y \sin \beta_0 (\lambda + \cos^2 \beta_0) + \\ & + 64 \cos^2 \beta_0 - 60 \sin^2 \beta_0 + \varepsilon \sin \beta_0 (150 \sin^2 \beta_0 - 515 \cos^2 \beta_0 - \lambda). \end{aligned} \quad (27)$$

Выше учитывалась зависимость функции  $Y$  только от  $\beta$ . Как видно из (19), (20), эта функция зависит также от  $\beta_0, y, \varepsilon, \lambda$ . Поэтому ее производные по  $\beta$ , взятые при  $\beta = \beta_0$ , фактически зависят от  $\beta_0, y, \varepsilon, \lambda$ . Эта зависимость учтена в обозначениях производных в левых частях формул (22)-(27).

Из формулы (16) для  $G(\beta)$  следует, что для обычной модели гироскопа в кардановом подвесе не выполнено одно из соотношений  $D_2$ , а именно, неравенство  $g_1 \neq 0$ . Поэтому для такого гироскопа критерий устойчивости стационарного решения может быть сформулирован следующим образом.

Пусть при некоторых допустимых значениях параметров  $\varepsilon, \lambda$  величины  $\beta_0, y$  связаны условием  $Y'(\beta_0, y, \varepsilon, \lambda) = 0$ . Тогда уравнения движения асинхронного гироскопа в кардановом подвесе допускают решение вида (3), где  $\Omega = y\omega C/2I$  ( $I = C_1 + A - B_1 - C$ ). Это решение устойчиво тогда и только тогда, когда выполнено одно из следующих трех условий:

$$Y''(\beta_0, y, \varepsilon, \lambda) > 0; \quad (28)$$

$$Y''(\beta_0, y, \varepsilon, \lambda) = 0, \quad Y'''(\beta_0, y, \varepsilon, \lambda) = 0, \quad Y^{(4)}(\beta_0, y, \varepsilon, \lambda) > 0; \quad (29)$$

$$Y''(\beta_0, y, \varepsilon, \lambda) = 0, \dots, Y^{(5)}(\beta_0, y, \varepsilon, \lambda) = 0, \quad Y^{(6)}(\beta_0, y, \varepsilon, \lambda) > 0. \quad (30)$$

При заданных значениях  $\varepsilon, \lambda$  множество стационарных движений определяется равенством  $Y'(\beta_0, y, \varepsilon, \lambda) = 0$ , которое с учетом (22) и вытекающего из (18) неравенства  $\lambda + \cos^2 \beta_0 \neq 0$  принимает вид

$$\cos \beta_0 (y^2 \sin \beta_0 - 2y + \varepsilon) = 0.$$

На плоскости  $\beta_0, y$  оно определяет два семейства стационарных движений: одно из них соответствует вертикальным прямым  $\beta_0 = \pm\pi/2 \pmod{2\pi}$ , а другое – двум кривым

$$y_1(\beta_0, \varepsilon) = \frac{1 + \sqrt{1 - \varepsilon \sin \beta_0}}{\sin \beta_0}, \quad y_2(\beta_0, \varepsilon) = \frac{1 - \sqrt{1 - \varepsilon \sin \beta_0}}{\sin \beta_0}. \quad (31)$$

Построение множества стационарных движений на плоскости  $\beta_0, y$  при различных допустимых значениях  $\varepsilon, \lambda$  дано в [1]. В случае  $\varepsilon > 0$  такое построение сделано на отрезке  $[-3\pi/2; \pi/2]$ , а при  $\varepsilon \leq 0$  – на отрезке  $[-\pi/2; 3\pi/2]$ . При этом на плоскости  $\beta_0, y$  точки

$$\begin{aligned} X_1 &= (-\pi/2, -1 - \sqrt{1 + \varepsilon}), \quad X_2 = (-\pi/2, -1 + \sqrt{1 + \varepsilon}) \quad (\varepsilon \geq -1); \\ X_3 &= (\pi/2, 1 - \sqrt{1 - \varepsilon}), \quad X_4 = (\pi/2, 1 + \sqrt{1 - \varepsilon}) \quad (\varepsilon \leq 1), \end{aligned} \quad (32)$$

где пересекаются прямые  $\beta_0 = \pm\pi/2$  и кривые  $y_j(\beta_0, \varepsilon)$ ,  $j = 1, 2$ , соответствуют точкам бифуркации в фазовом пространстве уравнений движения гироскопа.

**4. Условия устойчивости на кривых  $y_j(\beta_0, \varepsilon)$ ,  $j = 1, 2$ .** Чтобы проанализировать устойчивость стационарных движений, которые соответствуют точкам кривых (31):  $y = y_j(\beta_0, \varepsilon)$ ,  $j = 1, 2$ , следует рассмотреть функции  $Y^{(k)}(\beta_0, y, \varepsilon, \lambda)$ ,  $k = \overline{2, 6}$ , на этих кривых и выделить значения  $\beta_0, \varepsilon, \lambda$ , при которых выполняется одно из соотношений (28)-(30). Подстановку выражений (31) для  $y_j(\beta_0, \varepsilon)$ ,  $j = 1, 2$ , в формулы (23)-(27)

для  $Y^{(k)}$  удобно выполнить в два этапа: сначала заменить в этих формулах линейно входящую величину  $y$  выражением

$$y = \frac{1}{2}(y^2 \sin \beta_0 + \varepsilon), \quad (33)$$

следующим из определения  $y_j$ ,  $j = 1, 2$ , а затем заменить  $y$  по формулам  $y_j(\beta_0, \varepsilon) = \varepsilon / (1 \mp \sqrt{1 - \varepsilon \sin \beta_0})$ , эквивалентным (31).

Заменим в равенствах (23), (24) для  $Y'', Y'''$  линейно входящую величину  $y$  выражением (33). Получим функции

$$Y''_*(\beta_0, y, \varepsilon, \lambda) = \cos^2 \beta_0 [y^2 (\lambda + \cos^2 \beta_0) + 4(1 - \varepsilon \sin \beta_0)], \quad (34)$$

$$Y'''_*(\beta_0, y, \varepsilon, \lambda) = -3 \cos \beta_0 \sin \beta_0 [y^2 (\lambda + \cos^2 \beta_0) + 4(1 - \varepsilon \sin \beta_0)] - 6 \cos^3 \beta_0, \quad (35)$$

где под  $y$  понимается одна из функций  $y_j(\beta_0, \varepsilon)$ ,  $j = 1, 2$ .

В точках  $(\beta_0, y)$  кривых (31), отличных от точек бифуркации при  $\beta_0 = \pm\pi/2$ , знак  $Y''_*$  равен знаку выражения в квадратных скобках в формуле (34). Знак этого выражения на данных кривых проанализирован в [1] и найдены допустимые значения параметров  $\varepsilon, \lambda$ , при которых существуют интервалы устойчивости на этих кривых, то есть интервалы, где рассматриваемое выражение положительно. Согласно (34), при значениях  $\beta_0, y$  из таких интервалов в соответствующих точках кривых (31) выполняется условие устойчивости (28).

В точках  $(\beta_0, y)$  этих кривых, соответствующих граничным точкам указанных интервалов, выражение в квадратных скобках в (34) обращается в ноль. Поскольку то же самое выражение имеется в формуле (35), то в таких точках рассматриваемых кривых будет  $Y'''_* = -6 \cos^3 \beta_0$ . Поэтому в тех граничных точках интервалов устойчивости на кривых (31), которые отличны от точек бифуркации, условия (29), (30) выполняться не могут, так как в этих точках  $Y'''_* \neq 0$ . Следовательно, всем таким точкам соответствуют неустойчивые стационарные движения.

Полученный результат можно проиллюстрировать геометрически. В [1] показано, что граничные точки интервалов устойчивости на кривых (31), отличные от точек бифуркации, существуют при  $\varepsilon < 0$  и некоторых значениях  $\lambda < -1$ . Для кривой (31) с номером  $j = 1, 2$  абсциссы граничных точек обозначены через  $\beta_1^{(j)}, \beta_2^{(j)}(\varepsilon, \lambda)$ . Они расположены следующим образом:

$$\begin{aligned} \beta_1^{(1)}(\varepsilon, \lambda) &\in (0; \pi/2), & \beta_2^{(1)}(\varepsilon, \lambda) &\in (\pi/2; \pi) & (\beta_2^{(1)}(\varepsilon, \lambda) = \pi - \beta_1^{(1)}(\varepsilon, \lambda)); \\ \beta_1^{(2)}(\varepsilon, \lambda) &\in [-\pi/2; \pi/2], & \beta_2^{(2)}(\varepsilon, \lambda) &\in (\pi/2; 3\pi/2] & (\beta_2^{(2)}(\varepsilon, \lambda) = \pi - \beta_1^{(2)}(\varepsilon, \lambda)). \end{aligned}$$

При этом для кривой  $y = y_j(\beta_0, \varepsilon)$ ,  $j = 1, 2$ , условие устойчивости (28) выполнено во всех ее точках, соответствующих значениям  $\beta_0$  из интервалов

$$(\beta_1^{(j)}(\varepsilon, \lambda); \pi/2), \quad (\pi/2; \beta_2^{(j)}(\varepsilon, \lambda)), \quad j = 1, 2.$$

В [1] на рис. 9 изображены граничные поверхности  $\beta_0 = \beta_1^{(j)}(\varepsilon, \lambda)$ ,  $\beta_0 = \beta_2^{(j)}(\varepsilon, \lambda)$  для каждой из кривых  $y = y_j(\beta_0, \varepsilon)$ . Полученный выше результат означает, что всем точкам этих поверхностей, не лежащим на плоскостях, где  $\cos \beta_0 = 0$ , соответствуют неустойчивые стационарные движения. Теперь на кривых  $y = y_j(\beta_0, \varepsilon)$ ,  $j = 1, 2$ , остается изучить только устойчивость для бифуркационных точек (32).

На вертикальных прямых  $\beta_0 = \pm\pi/2$  условие устойчивости (28) рассмотрено в [1]. Показано, что при  $\varepsilon \geq 0$ , когда  $\lambda > 0$ , условие (28) выполняется на открытых вертикальных интервалах, лежащих на каждой из прямых  $\beta_0 = \pm\pi/2$  между двумя точками бифуркации, существующими на данной прямой. При  $\varepsilon \leq 0$ , когда  $\lambda < -1$ , условие (28) выполняется на вертикальных лучах, которые лежат на прямых  $\beta_0 = \pm\pi/2$  вне замкнутых отрезков с концами в точках бифуркации.

Таким образом, чтобы полностью исследовать устойчивость стационарных движений для обычной модели гироскопа в кардановом подвесе остается изучить устойчивость точек бифуркации (32).

**5. Условия устойчивости точек бифуркации.** Пусть  $Y_{X_k}^{(n)}(\varepsilon, \lambda)$  ( $n = \overline{2, 6}$ ;  $k = \overline{1, 4}$ ) – значения функций  $Y^{(n)}(\beta_0, y, \varepsilon, \lambda)$  в точках бифуркации  $X_k$ . Координаты  $\beta_0, y$  этих точек указаны в (32). Подставив в формулу (23) значения  $\beta_0, y$ , равные координатам точек  $X_k$ , получим  $Y_{X_k}''(\varepsilon, \lambda) = 0$ ,  $k = \overline{1, 4}$ . Так как в этих точках  $\cos \beta_0 = 0$ , то из (24), (26) следует, что  $Y_{X_k}'''(\varepsilon, \lambda) = 0$ ,  $k = \overline{1, 4}$ . Таким образом, соотношения (28)-(30), выражающие необходимое и достаточное условие устойчивости стационарных движений, в случае точек бифуркации сводятся к следующим:

$$Y_{X_k}^{(4)}(\varepsilon, \lambda) > 0; \quad (36)$$

$$Y_{X_k}^{(4)}(\varepsilon, \lambda) = 0, \quad Y_{X_k}^{(6)}(\varepsilon, \lambda) > 0. \quad (37)$$

Из соотношений (25), (32) находим выражения функций  $Y_{X_k}^{(4)}(\varepsilon, \lambda)$ :

$$\begin{aligned} Y_{X_1}^{(4)}(\varepsilon, \lambda) &= 3[\lambda(\sqrt{1+\varepsilon} + 1)^2 + 4(1+\varepsilon)] \quad (\varepsilon \geq -1), \\ Y_{X_2}^{(4)}(\varepsilon, \lambda) &= 3[\lambda(\sqrt{1+\varepsilon} - 1)^2 + 4(1+\varepsilon)] \quad (\varepsilon \geq -1), \\ Y_{X_3}^{(4)}(\varepsilon, \lambda) &= 3[\lambda(\sqrt{1-\varepsilon} - 1)^2 + 4(1-\varepsilon)] \quad (\varepsilon \leq 1), \\ Y_{X_4}^{(4)}(\varepsilon, \lambda) &= 3[\lambda(\sqrt{1-\varepsilon} + 1)^2 + 4(1-\varepsilon)] \quad (\varepsilon \leq 1). \end{aligned} \quad (38)$$

Из формул (27), (32) следуют формулы для функций  $Y_{X_k}^{(6)}(\varepsilon, \lambda)$ , которые запишем, выделяя в них выражения (38):

$$\begin{aligned} Y_{X_1}^{(6)}(\varepsilon, \lambda) &= -5Y_{X_1}^{(4)}(\varepsilon, \lambda) - 90\varepsilon, \quad Y_{X_2}^{(6)}(\varepsilon, \lambda) = -5Y_{X_2}^{(4)}(\varepsilon, \lambda) - 90\varepsilon \quad (\varepsilon \geq -1); \\ Y_{X_3}^{(6)}(\varepsilon, \lambda) &= -5Y_{X_3}^{(4)}(\varepsilon, \lambda) + 90\varepsilon, \quad Y_{X_4}^{(6)}(\varepsilon, \lambda) = -5Y_{X_4}^{(4)}(\varepsilon, \lambda) + 90\varepsilon \quad (\varepsilon \leq 1). \end{aligned} \quad (39)$$

В соответствии с (18), множество  $P$  всех допустимых значений параметров  $\varepsilon, \lambda$  состоит из двух связных подмножеств  $P^+ = \{(\varepsilon, \lambda) : \varepsilon \geq 0, \lambda > 0\}$ ,  $P^- = \{(\varepsilon, \lambda) : \varepsilon \leq 0, \lambda < -1\}$ . Пусть  $P_k$  ( $k = \overline{1, 4}$ ) – множество тех допустимых значений  $\varepsilon, \lambda$ , при которых существует точка бифуркации  $X_k$ . Из формул (32) следует, что  $P_1 = P_2$  есть часть  $P = P^+ \cup P^-$ , лежащая в полуплоскости  $\varepsilon \geq -1$ , а  $P_3 = P_4$  есть часть  $P$ , лежащая в полуплоскости  $\varepsilon \leq 1$ .

Обозначим через  $\lambda = \lambda_k(\varepsilon)$ ,  $k = \overline{1, 4}$ , кривую на плоскости  $\varepsilon, \lambda$ , определяемую условием  $Y_{X_k}^{(4)}(\varepsilon, \lambda) = 0$ . Из (38) находим

$$\begin{aligned} \lambda_1(\varepsilon) &= -\frac{4(1+\varepsilon)}{(\sqrt{1+\varepsilon} + 1)^2}, \quad \lambda_2(\varepsilon) = -\frac{4(1+\varepsilon)}{(\sqrt{1+\varepsilon} - 1)^2} \quad (\varepsilon \geq -1); \\ \lambda_3(\varepsilon) &= -\frac{4(1-\varepsilon)}{(\sqrt{1-\varepsilon} - 1)^2}, \quad \lambda_4(\varepsilon) = -\frac{4(1-\varepsilon)}{(\sqrt{1-\varepsilon} + 1)^2} \quad (\varepsilon \leq 1). \end{aligned}$$

Тогда условию (36) для  $X_k$  удовлетворяют те точки плоскости  $\varepsilon, \lambda$ , которые принадлежат допустимому множеству  $P_k$  и лежат выше графика кривой  $\lambda = \lambda_k(\varepsilon)$ .

В условии (37) равенство  $Y_{X_k}^{(4)}(\varepsilon, \lambda) = 0$  выделяет часть графика кривой  $\lambda = \lambda_k(\varepsilon)$ , которая лежит в  $P_k$ . Неравенство  $Y_{X_k}^{(6)}(\varepsilon, \lambda) > 0$  в условии (37) выделяет на этой части графика  $\lambda = \lambda_k(\varepsilon)$  точки  $\varepsilon, \lambda$ , которым соответствуют устойчивые стационарные движения для  $X_k$ . Как показывают формулы (39), для точек  $X_1, X_2$  устойчивые стационарные движения соответствуют той части графика кривой  $\lambda = \lambda_k(\varepsilon)$ , которая лежит в допустимом множестве  $P_k$  при  $\varepsilon < 0$ , а для точек  $X_3, X_4$  – при  $\varepsilon > 0$ .

Множество всех допустимых значений  $\varepsilon, \lambda$ , при которых стационарные движения, соответствующие бифуркационной точке  $X_k$ , удовлетворяют условиям устойчивости (36), (37), обозначим через  $S_k$ . Тогда остальным допустимым значениям  $\varepsilon, \lambda$ , то есть значениям из множества  $U_k = P_k \setminus S_k$ , соответствуют неустойчивые стационарные движения.

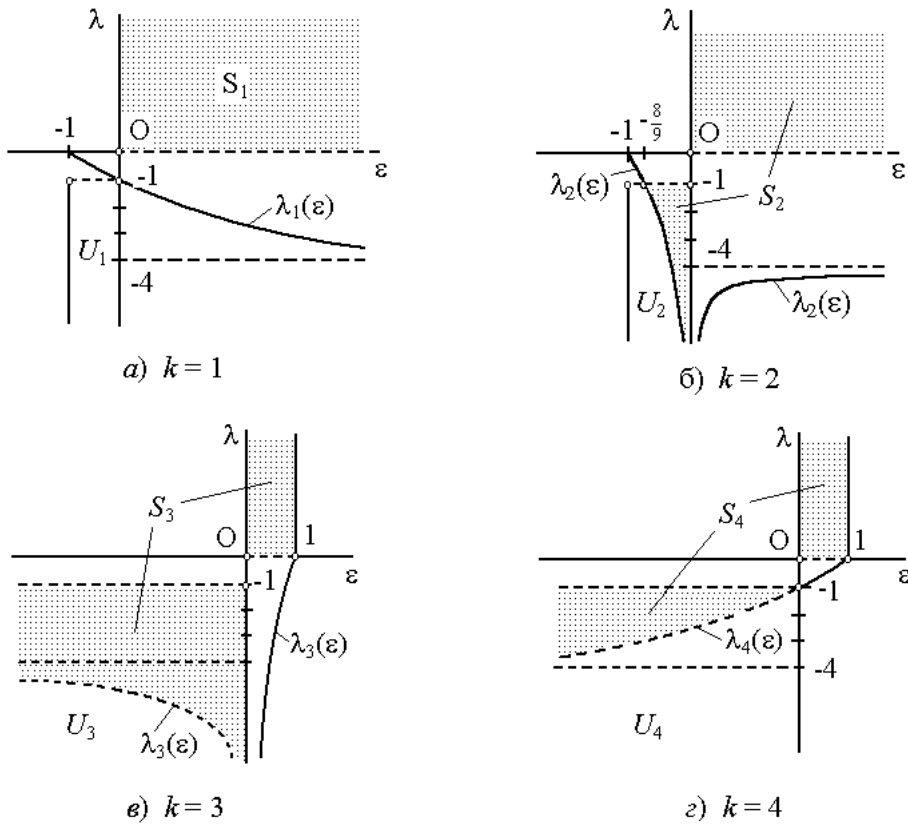


Рис. 2. Множества  $S_k, U_k$  устойчивости и неустойчивости для бифуркационных точек  $X_k$ .

Множества устойчивости и неустойчивости  $S_k, U_k$  ( $k = \overline{1, 4}$ ) для бифуркационных точек  $X_k$  ( $k = \overline{1, 4}$ ) изображены на рис. 2, а, б, в, г. Каждое из множеств  $S_k$  выделено фоном. Часть границы  $S_k$ , изображенная сплошной линией, принадлежит этому множеству, а показанная пунктиром – не принадлежит. Не принадлежат  $S_k$  также угловые точки, выделенные кружочками.

Таким образом, с учетом результатов работы [1], для всех стационарных движений асинхронного гироскопа в кардановом подвесе указаны все значения параметров, при

которых эти движения устойчивы или неустойчивы.

1. *Коносевич Б.И.* Исследование основного условия устойчивости стационарных движений гироскопа в кардановом подвесе, снабженного электродвигателем // Механика твердого тела. – 2003. – Вып. 33. – С. 80-89.
2. *Коносевич Б.И.* Об устойчивости стационарных движений асинхронного гироскопа в кардановом подвесе // Там же. – 1977. – Вып. 9. – С. 61-72.
3. *Коносевич Б.И.* Скорость ухода оси ротора в обобщенной задаче о гироскопе в кардановом подвесе // Там же. – 1972. – Вып. 4. – С. 82-92.
4. *Харламов П.В.* Составной пространственный маятник // Там же. – С. 73-82.
5. *Лунц Я.Л.* Введение в теорию гироскопов. – М.: Наука, 1972. – 296 с.

Ин-т прикл. математики и механики НАН Украины, Донецк  
konos@iamm.ac.donetsk.ua

Получено 21.05.04